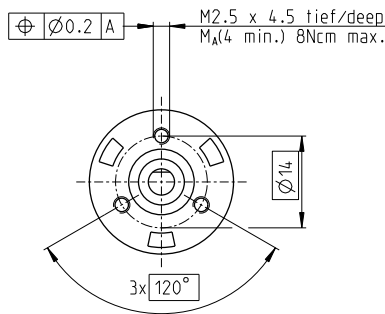
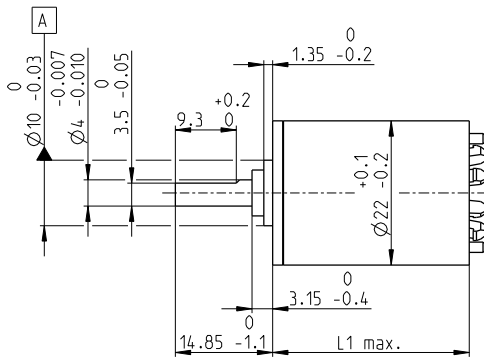


Reductor planetario GP 22 L Ø22 mm, 0.2-0.6 Nm

Versión plástico



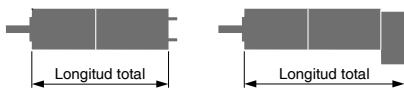
M 1:1

Datos técnicos

Reductor planetario	diente recto
Carcasa	plástico
Eje de salida	acero inoxidable, templado
Rodamiento de salida	cojinete sinterizado
Juego radial a 10 mm de la brida	máx. 0.1 mm
Juego axial	máx. 0.15 mm
Máx. carga axial admisible	20 N
Máx. fuerza adm. en acoplamientos a presión	100 N
Sentido de giro, entrada/salida	=
Máx. velocidad de entrada en continuo	6000 rpm
Rango de temperatura aconsejado	-15...+80°C
Número de etapas	1 2 3 4 5
Máx. carga radial adm. a 10 mm de la brida	15 N 20 N 25 N 30 N 30 N

gear

	Referencia										
	232763	232766	232772	232778	232782	232788	232794	232796	232803	232809	232815
Datos del Reductor											
1 Reducción	3.8:1	14:1	53:1	104:1	198:1	370:1	590:1	742:1	1386:1	1996:1	3189:1
2 Reducción absoluta	15/4	225/16	3375/64	87723/645	50625/256	10556001/28561	59049/100	759375/1024	158340015/114244	285012027/142805	1594323/500
3 Diámetro máx. del eje del motor	4	4	4	3.2	4	3.2	4	4	3.2	3.2	4
Referencia	232764	232767	232773	232779	232783	232789	232795	232798	232804	232810	232816
1 Reducción	4.4:1	16:1	62:1	109:1	231:1	389:1	690:1	867:1	1460:1	2102:1	3728:1
2 Reducción absoluta	57/13	859/62	12825/208	2187/20	192375/832	263169/676	1121931/1625	2885625/3328	3947535/2704	7105563/3380	30292137/8125
3 Diámetro máx. del eje del motor	3.2	3.2	3.2	4	3.2	3.2	3.2	3.2	3.2	3.2	3.2
Referencia	232765	232768	232774	232780	232784	232790	232797	232799	232805	232811	232817
1 Reducción	5.4:1	19:1	72:1	128:1	270:1	410:1	850:1	1014:1	1538:1	2214:1	4592:1
2 Reducción absoluta	27/5	3249/169	48735/676	41553/325	731025/2704	6561/16	531441/625	10965375/10816	98415/64	177147/80	14348907/3125
3 Diámetro máx. del eje del motor	2.5	3.2	3.2	3.2	3.2	4	2.5	3.2	4	4	2.5
Referencia	232769	232775	232781	232785	232791		232800	232806	232812		
1 Reducción		20:1	76:1	157:1	285:1	455:1		1068:1	1621:1	2458:1	
2 Reducción absoluta		81/4	1215/16	19683/125	18225/64	5000211/10985		273375/256	601692057/31293	139005697/54925	
3 Diámetro máx. del eje del motor		4	4	2.5	4	3.2		4	3.2	3.2	
Referencia	232770	232776		232786	232792		232801	232807	232813		
1 Reducción		24:1	84:1		316:1	479:1		1185:1	1707:1	2589:1	
2 Reducción absoluta		1539/65	185193/2197		2777895/8788	124659/260		41668425/35152	15000633/3788	3365793/1300	
3 Diámetro máx. del eje del motor		3.2	3.2		3.2	3.2		3.2	3.2	3.2	
Referencia	232771	232777		232787	232793		232802	232808	232814		
1 Reducción		29:1	89:1		333:1	561:1		1249:1	1798:1	3027:1	
2 Reducción absoluta		729/25	4617/52		69255/208	2368521/4225		1038825/832	373977/208	63950067/21125	
3 Diámetro máx. del eje del motor		2.5	3.2		3.2	3.2		3.2	3.2	3.2	
4 Número de etapas		1	2	3	4	4		5	5	5	5
5 Máx. par en continuo		Nm 0.2	0.3	0.4	0.4	0.5	0.5	0.5	0.6	0.6	0.6
6 Máx. par admisible de forma intermitente		Nm 0.3	0.4	0.5	0.5	0.7	0.7	0.7	0.8	0.8	0.8
7 Máx. rendimiento		% 84	70	59	59	49	49	49	42	42	42
8 Peso		g 28	35	43	43	51	51	51	59	59	59
9 Holgura media en vacío		° 1.0	1.2	1.6	1.6	2.0	2.0	2.0	2.0	2.0	2.0
10 Momento de inercia		gcm ² 0.5	0.4	0.4	0.4	0.4	0.4	0.4	0.4	0.4	0.4
11 Longitud reductor L1		mm 22.7	29.5	36.3	36.3	43.1	43.1	43.1	49.9	49.9	49.9



Sistema Modular maxon												
+ Motor	Página	+ Sensor/Freno	Página	Longitud total [mm] = Longitud motor + longitud reductor + (sensor/freno) + piezas de montaje								
A-max 22	157-160			54.7	61.5	68.3	68.3	75.1	75.1	81.9	81.9	81.9
A-max 22	158/160	MR	460/461	59.7	66.5	73.3	73.3	80.1	80.1	86.9	86.9	86.9
A-max 22	158/160	Enc 22	468	69.1	75.9	82.7	82.7	89.5	89.5	96.3	96.3	96.3